

УДК 517.958:536.2

УПРОЩЕННЫЕ РЕШЕНИЯ ЗАДАЧ ФЛЕКА

В. В. Завьялов, А. А. Шестаков
(РФЯЦ-ВНИИТФ)

Построены аналитические решения для стационарной системы уравнений спектрального переноса излучения с условиями, взятыми из задач Флека. Приведено сравнение с численным расчетом. Показано, что температура вещества, полученная из численных расчетов, хорошо согласуется с вычисленной по построенным аналитическим формулам.

Ключевые слова: перенос излучения, задачи Флека.

Введение

В 1971 году Д. Флеком [1], специалистом по переносу излучения из Ливерморской национальной лаборатории США, были предложены четыре задачи, которые со временем стали классическими тестовыми задачами по переносу излучения.

Их достоинствами являются:

- простота постановки граничных и начальных условий, что позволяет выполнять расчеты в различных приближениях;
- простые аналитические формулы для спектральных пробегов;
- широкий диапазон изменения спектрального коэффициента поглощения;
- моделирование разрывов спектрального коэффициента поглощения по пространству и энергетическому спектру;
- простейшее уравнение состояния идеального газа.

Многие методики, создаваемые для решения задач переноса излучения, используют задачи Флека для тестирования, и, по мнению авторов, по рейтингу цитируемости в статьях по переносу излучения работа [1] занимает первое место.

Во всех задачах Флека плоский слой прогревается потоком излучения, соответствующим температуре 1 кэВ. Начальная температура равна нулю, плотность вещества единичная, задача рассматривается без учета газодинамического движения и рассеяния, используется уравнение состояния идеального газа. Коэффициент поглощения света задается в виде формулы

$$\kappa_{\varepsilon} = \frac{\kappa_0}{\varepsilon^3} \left(1 - e^{-\varepsilon/T} \right),$$

где T — температура; ε — энергия фотонов; κ_0 — некоторая константа.

Частое использование в численных методиках тестов Флека приводит к потребности иметь аналитические формулы для решения этих задач. В данной работе сделана попытка построить аналитические решения стационарной системы уравнений переноса спектрального излучения и энергии для первой и второй задач Флека.

Аналитическое решение системы уравнений переноса спектрального излучения и энергии в стационарном случае

Рассмотрим спектральную систему уравнений переноса излучения и энергии в общем случае:

$$\frac{1}{c} \frac{\partial I_\nu}{\partial t} + \vec{\Omega} \nabla I_\nu + (\kappa_\nu + \chi_\nu) I_\nu = \frac{1}{4\pi} \left(\kappa_\nu B_\nu + \chi_\nu \int_{\Omega} I_\nu(t, \vec{r}, \vec{\Omega}) d\vec{\Omega} \right);$$

$$\frac{\partial E}{\partial t} = \int_0^\infty \kappa_\nu \int_{\Omega} \left(I_\nu - \frac{1}{4\pi} B_\nu \right) d\vec{\Omega} d\nu.$$

Здесь t — время; c — скорость света; $\vec{\Omega}$ — единичный вектор в направлении движения фотонов; ν — частота; $I_\nu(t, \vec{r}, \vec{\Omega})$ — интенсивность излучения фотонов; κ_ν — коэффициент поглощения фотонов;

χ_ν — коэффициент рассеяния фотонов; $B_\nu = 4\pi \frac{2h}{c^2} \frac{\nu^3}{e^{h\nu/T} - 1} = \frac{p_0 \varepsilon^3}{e^{\varepsilon/T} - 1}$ — функция Планка с множителем $p_0 = ph$, где h — постоянная Планка, $p = \frac{8\pi}{c^2 h^3}$; $\varepsilon = h\nu$ — энергия фотона; $\int_0^\infty B_\nu d\nu = c\sigma T^4$,

σ — постоянная Стефана–Больцмана.

В стационарном случае при $\chi_\nu = 0$ (условия задач Флека) получаем

$$\vec{\Omega} \nabla I_\nu + \kappa_\nu I_\nu = \kappa_\nu I_{p\nu}; \quad (1)$$

$$\int_0^\infty \kappa_\nu \int_{\Omega} (I_\nu - I_{p\nu}) d\vec{\Omega} d\nu = 0. \quad (2)$$

Запишем уравнение (1) в операторном виде

$$L I_\nu = I_{p\nu},$$

где $L = E + (\vec{\Omega}, \kappa_\nu^{-1} \nabla)$; $E I_\nu = I_\nu$; $I_{p\nu} = \frac{1}{4\pi} B_\nu$ в общем случае, $I_{p\nu} = 0,5 B_\nu$ в плоской и сферически-симметричной геометриях. Тогда точное значение интенсивности можно записать в виде

$$I_\nu = L^{-1} I_{p\nu}.$$

Следуя работе [2], разложим в ряд Неймана резольвенту оператора $(\vec{\Omega}, \kappa_\nu^{-1} \nabla)$:

$$\left[E + (\vec{\Omega}, \kappa_\nu^{-1} \nabla) \right]^{-1} = \sum_{n=0}^{\infty} (-1)^n (\vec{\Omega}, \kappa_\nu^{-1} \nabla)^n = E - (\vec{\Omega}, \kappa_\nu^{-1} \nabla) + (\vec{\Omega}, \kappa_\nu^{-1} \nabla)^2 - \dots \quad (3)$$

Тогда точное значение интенсивности можно записать в виде бесконечного ряда

$$I_\nu = \sum_{n=0}^{\infty} (-1)^n (\vec{\Omega}, \kappa_\nu^{-1} \nabla)^n I_{p\nu} = I_{p\nu} - (\vec{\Omega}, \kappa_\nu^{-1} \nabla) I_{p\nu} + (\vec{\Omega}, \kappa_\nu^{-1} \nabla)^2 I_{p\nu} - \dots \quad (4)$$

В плоской геометрии это выражение имеет вид

$$I_\nu = I_{p\nu} - \frac{\mu}{\kappa_\nu} \frac{\partial I_{p\nu}}{\partial r} + \frac{\mu^2}{\kappa_\nu} \frac{\partial}{\partial r} \left(\frac{1}{\kappa_\nu} \frac{\partial I_{p\nu}}{\partial r} \right) - \frac{\mu^3}{\kappa_\nu} \frac{\partial}{\partial r} \left[\frac{1}{\kappa_\nu} \frac{\partial}{\partial r} \left(\frac{1}{\kappa_\nu} \frac{\partial I_{p\nu}}{\partial r} \right) \right] + \dots \quad (5)$$

Разложение (3) имеет место для непрерывных операторов с нормой меньше единицы. Обоснование применения ряда Неймана для численных методов решения уравнения переноса приведено в работах Ларсена [3, 4].

Если известна равновесная интенсивность $I_{p\nu}$, которая определяется распределением температуры $T(r)$, то по заданному коэффициенту рассеяния можно сразу найти аналитическое выражение интенсивности I_ν . Из (5) видно, что в оптически плотных средах при $\kappa_\nu \rightarrow \infty$ и в направлениях, близких к $\mu = 0$, получаем $I_\nu \rightarrow I_{p\nu}$.

Для нахождения температуры подставим выражение (4) в (2):

$$\int_0^\infty \kappa_\nu \int_\Omega \left[\sum_{n=1}^\infty (-1)^n (\vec{\Omega}, \kappa_\nu^{-1} \nabla)^n I_{p\nu} \right] d\vec{\Omega} d\nu = 0.$$

Используя известные соотношения [2]

$$\int_\Omega (\vec{\Omega}, \kappa_\nu^{-1} \nabla)^n d\vec{\Omega} = \begin{cases} 0 & \text{для } n = 1, 3, 5, \dots; \\ \frac{4\pi}{n+1} (\kappa_\nu^{-1} \nabla)^n = M_n & \text{для } n = 0, 2, 4, \dots, \end{cases}$$

получаем

$$\int_0^\infty \kappa_\nu \left(\sum_{n=1}^\infty M_{2n} I_{p\nu} \right) d\nu = 0. \quad (6)$$

Например, для первого оператора M_2

$$M_2 I_{p\nu} = \int_\Omega (\vec{\Omega}, \kappa_\nu^{-1} \nabla)^2 I_{p\nu} d\vec{\Omega} = \frac{4\pi}{3\kappa_\nu} (\nabla, \kappa_\nu^{-1} \nabla I_{p\nu}).$$

В плоской геометрии оператор M_n , $n = 0, 2, 4, \dots$, имеет вид

$$M_n = \int_{-1}^1 (\mu, \kappa_\nu^{-1} \nabla)^n d\mu = \frac{2}{n+1} (\kappa_\nu^{-1} \nabla)^n,$$

и вместо уравнения (6) получаем

$$\int_0^\infty \left\{ \frac{1}{3} \frac{\partial}{\partial r} \left(\frac{1}{\kappa_\nu} \frac{\partial I_{p\nu}}{\partial r} \right) + \frac{1}{5} \frac{\partial}{\partial r} \left\{ \frac{1}{\kappa_\nu} \frac{\partial}{\partial r} \left[\frac{1}{\kappa_\nu} \frac{\partial}{\partial r} \left(\frac{1}{\kappa_\nu} \frac{\partial I_{p\nu}}{\partial r} \right) \right] \right\} + \dots \right\} d\nu = 0. \quad (7)$$

Сначала рассмотрим решение в самом простом случае — плоской геометрии при постоянном κ_ν . Для нахождения температуры из (7) получаем уравнение

$$\frac{1}{3\kappa} \frac{d^2(T^4)}{dr^2} + \frac{1}{5\kappa^3} \frac{d^4(T^4)}{dr^4} + \frac{1}{7\kappa^5} \frac{d^6(T^4)}{dr^6} + \dots = 0.$$

Его решениями являются решения уравнения Лапласа $\frac{d^2(T^4)}{dr^2} = 0$.

Решением уравнения Лапласа является линейная функции от r для T^4 :

$$T^4 = T_0 r + T_1,$$

где T_0, T_1 — некоторые константы.

Для однозначности этого решения надо поставить граничные условия. На одной границе зададим равновесную интенсивность $I_\nu = I_{gr} = I_{p\nu}(T_{gr})$, зависящую от граничной температуры T_{gr} , а на другой — условие свободной поверхности $I_\nu = 0$ при $(\vec{\Omega}, \vec{n}) < 0$. С учетом уравнения (5), если на границе задавать входящий поток μI_ν , то при $\mu > 0$ получаем

$$\int_0^1 \mu I_\nu d\mu = I_{p\nu} \int_0^1 \mu d\mu - \frac{1}{\kappa} \frac{\partial I_{p\nu}}{\partial r} \int_0^1 \mu^2 d\mu + \frac{1}{\kappa^2} \frac{\partial^2 I_{p\nu}}{\partial r^2} \int_0^1 \mu^3 d\mu - \dots = \frac{1}{2} I_{p\nu} - \frac{1}{3\kappa} \frac{\partial I_{p\nu}}{\partial r} + \frac{1}{4\kappa^2} \frac{\partial^2 I_{p\nu}}{\partial r^2} - \dots$$

При $\mu < 0$

$$\int_{-1}^0 \mu I_\nu d\mu = I_{p\nu} \int_{-1}^0 \mu d\mu - \frac{1}{\kappa} \frac{\partial I_{p\nu}}{\partial r} \int_{-1}^0 \mu^2 d\mu + \frac{1}{\kappa^2} \frac{\partial^2 I_{p\nu}}{\partial r^2} \int_{-1}^0 \mu^3 d\mu - \dots = -\frac{1}{2} I_{p\nu} - \frac{1}{3\kappa} \frac{\partial I_{p\nu}}{\partial r} - \frac{1}{4\kappa^2} \frac{\partial^2 I_{p\nu}}{\partial r^2} + \dots$$

После интегрирования по спектру на левой границе ($r = 0$) при $T_{gr} = 1$ получаем $\frac{T_1}{2} - \frac{T_0}{3\kappa} = \frac{1}{2}$, на правой границе ($r = R$) получаем $\frac{T_0 R + T_1}{2} + \frac{T_0}{3\kappa} = 0$. Тогда выражения для температуры и потока принимают вид

$$T = \sqrt[4]{\frac{R - r + \frac{2}{3\kappa}}{R + \frac{4}{3\kappa}}}; \quad S = \frac{c\sigma}{3\kappa R + 4} = \text{const.}$$

Сравним температуры, полученные из аналитических и численных расчетов. На рис. 1 приведены профили температуры вещества, посчитанной по TVD-схеме второго порядка при $\kappa = 10$, $R = 4$ и по аналитической формуле. В расчетах рассматривалась область $1 = r_0 \leq r \leq r_1 = 5$, поэтому

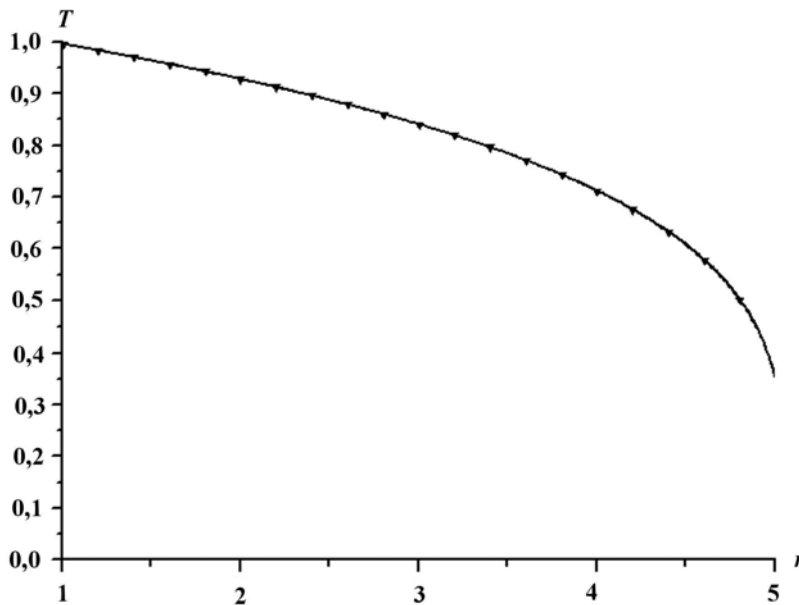


Рис. 1. Профили температуры вещества: — — численный расчет; —▼— — аналитическое решение

в аналитической формуле r заменялась на $r - r_0$, R заменялась на $r_1 - r_0$. Из рис. 1 видно, что аналитическая формула хорошо описывает численное решение.

Можно рассмотреть более сложные формулы для коэффициента поглощения. При $\kappa = \kappa_0 T^{-m}$, $m > 0$ из уравнения энергии (7) получаем

$$\begin{aligned} & \int_0^\infty \left\{ \frac{1}{3} \frac{\partial}{\partial r} \left(\frac{1}{\kappa_\nu} \frac{\partial I_{p\nu}}{\partial r} \right) + \frac{1}{5} \frac{\partial}{\partial r} \left\{ \frac{1}{\kappa_\nu} \frac{\partial}{\partial r} \left[\frac{1}{\kappa_\nu} \frac{\partial}{\partial r} \left(\frac{1}{\kappa_\nu} \frac{\partial I_{p\nu}}{\partial r} \right) \right] \right\} + \dots \right\} d\nu = \\ & = \frac{1}{3} \frac{d}{dr} \left(\frac{T^m}{\kappa_0} \frac{dT^4}{dr} \right) + \frac{1}{5} \frac{d}{dr} \left\{ \frac{T^m}{\kappa_0} \frac{d}{dr} \left[\frac{T^m}{\kappa_0} \frac{d}{dr} \left(\frac{T^m}{\kappa_0} \frac{dT^4}{dr} \right) \right] \right\} + \dots = \\ & = \frac{4}{m+4} \left(\frac{1}{3\kappa_0} \frac{d^2 T^{m+4}}{dr^2} + \frac{1}{5\kappa_0^3} \frac{d}{dr} \left\{ T^m \frac{d}{dr} \left[T^m \frac{d^2 T^{m+4}}{dr^2} \right] \right\} + \dots \right) = 0. \end{aligned}$$

Если занулить первый член этого ряда, рассмотрев уравнение Лапласа $\frac{d^2 T^{m+4}}{dr^2} = 0$, все остальные члены ряда занулятся автоматически, т. е. решениями дифференциального уравнения являются все гармонические функции $T^{m+4} = T_0 (r - r_0) + T_1$.

Решение для первой задачи Флека

Проинтегрируем уравнение (7) по частоте для коэффициента поглощения $\kappa_\varepsilon = \frac{\kappa_0}{\varepsilon^3} (1 - e^{-\varepsilon/T})$, рассмотренного в работе Флека [1]. Тогда уравнение (7) принимает вид $\frac{d^2 T^7}{dr^2} + O\left(\frac{1}{\kappa_0^3}\right) = 0$.

Вместо решения этого уравнения рассмотрим решение уравнения $\frac{d^2 T^7}{dr^2} = 0$, которое является уравнением Лапласа для функции T^7 . При решении уравнения Лапласа получаем

$$T^7 = T_0 (r - r_0) + T_1,$$

где T_0, T_1 — некоторые константы.

В задаче Флека на одной границе задается входящий поток от единичной температуры, а на другой — условие свободной поверхности: $I_\nu = 0$ при $(\vec{\Omega}, \vec{n}) < 0$. Таким образом, имеем:

$$\begin{aligned} \frac{\sigma T^4}{4} - \frac{m}{3} \frac{dT^7}{dr} &= \frac{\sigma T_1^{4/7}}{4} - \frac{m T_0}{3} = \frac{\sigma}{4}, \quad m \approx \frac{230737}{\kappa_0} \quad \text{при } r = r_0; \\ \frac{\sigma T^4}{4} + \frac{m}{3} \frac{dT^7}{dr} &= \frac{\sigma}{4} (T_0 R + T_1)^{4/7} + \frac{m T_0}{3} = 0 \quad \text{при } r = R + r_0. \end{aligned}$$

Из этих условий получаем уравнение для нахождения T_0 :

$$\left(1 + \frac{4mT_0}{3\sigma} \right)^{7/4} - \left(-\frac{4mT_0}{3\sigma} \right)^{7/4} + T_0 R = 0.$$

Это уравнение можно решить численно итерационным методом Ньютона.

Отсюда, например, при $\kappa_0 = 1000$

$$T_0 \approx -0,24191; \quad T_1 = \left(1 + \frac{4mT_0}{3\sigma} \right)^{7/4} \approx 0,968.$$

Тогда для температуры и потока получаем

$$T = \sqrt[7]{T_0 (r - r_0) + T_1} \approx \sqrt[7]{0,968 - 0,242 (r - r_0)}; \quad S = -\frac{2mT_0}{3} \approx 37,2.$$

При $\kappa_0 = 10\,000$

$$T = \sqrt[7]{T_0 (r - r_0) + T_1} \approx \sqrt[7]{0,997 - 0,249 (r - r_0)}; \quad S = -\frac{2mT_0}{3} \approx 3,83,$$

где $T_0 \approx -0,24918$; $T_1 = \left(1 + \frac{4mT_0}{3c\sigma}\right)^{7/4} \approx 0,99674$.

На рис. 2 приведены профили температуры вещества, рассчитанной по TVD-схеме при $r_0 = 1$, $R = 4$ и по аналитической формуле. Число точек по пространству выбрано из расчетов на получение сходимости численного решения. Видно, что температура вещества, рассчитанная численно, хорошо согласуется с полученной по аналитической формуле.

Решение для второй задачи Флека

Во второй задаче Флека в центре системы вводится оптически плотная область 1 ($r_0 \leq r \leq r_0 + R_1$) с $\kappa_2 = 10\,000$. В области 2 ($r_0 + R_1 \leq r \leq r_0 + R_2$) и области 3 ($r_0 + R_2 \leq r \leq r_0 + R$) $\kappa_1 = 27$. Используя в каждой области приближенное решение, полученное для первой задачи Флека, имеем:

- в области 1 $T^7 = T_0 (r - r_0) + T_1; \quad S = -\frac{2m_1 T_0}{3\kappa_1};$
- в области 2 $T^7 = T_2 (r - r_0) + T_3; \quad S = -\frac{2m_1 T_2}{3\kappa_2};$
- в области 3 $T^7 = T_4 (r - r_0) + T_5; \quad S = -\frac{2m_1 T_4}{3\kappa_1},$

где $T_0, T_1, T_2, T_3, T_4, T_5$ — константы, определяемые из граничных условий;

$$m_1 = \frac{pm_0}{14} \approx 230\,737; \quad m_0 = \int_0^\infty \frac{x^7 e^{2x}}{(e^x - 1)^3} dx = 2520\zeta(7) + \frac{8}{3}\pi^6 \approx 5\,103,9; \quad \kappa_\nu = \kappa_i \frac{(e^x - 1)}{\varepsilon^3 e^x}, \quad i = 1, 2;$$

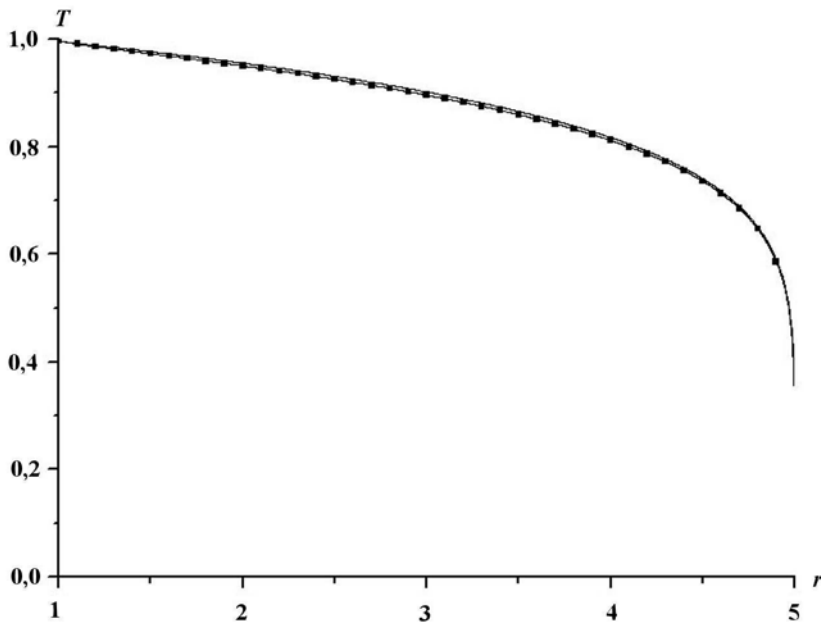


Рис. 2. Первая задача Флека. Профили температуры при $\kappa_0 = 1\,000$: — — аналитическое решение; —■— численное решение

$x = \varepsilon/T$; $\zeta(p) = \sum_{n=1}^{\infty} n^{-p}$ — функция Римана.

На границах между областями будем требовать выполнения условия непрерывности потока

$$T_2 = \frac{\kappa_2}{\kappa_1} T_0; \quad T_4 = T_0$$

и условий непрерывности температуры

$$T_0 R_1 + T_1 = T_2 R_1 + T_3; \quad T_2 R_2 + T_3 = T_4 R_2 + T_5.$$

Если на левой и правой границах задавать односторонние потоки, то получаем

$$T_1 = \left(1 + \frac{4m_1 T_0}{3\sigma\kappa_1}\right)^{7/4}; \quad T_2 = \frac{\kappa_2}{\kappa_1} T_0; \quad T_3 = \left(1 + \frac{4m_1 T_0}{3\sigma\kappa_1}\right)^{7/4} - \left(\frac{\kappa_2}{\kappa_1} - 1\right) T_0 R_1;$$

$$T_4 = T_0; \quad T_5 = \left(-\frac{4m_1 T_0}{3\sigma\kappa_1}\right)^{7/4} - T_0 R.$$

Константа T_0 находится из уравнения

$$F = \left(1 + \frac{4m_1 T_0}{3\sigma\kappa_1}\right)^{7/4} - \left(-\frac{4m_1 T_0}{3\sigma\kappa_1}\right)^{7/4} + \left(\frac{\kappa_2}{\kappa_1} - 1\right) T_0 (R_2 - R_1) + T_0 R = 0.$$

При $r_0 = 0$; $R_1 = 2$; $R_2 = 2,4$; $R = 4$; $\kappa_1 = 27$; $\kappa_2 = 10\,000$ имеем

$$T_0 \approx -0,00638; \quad T_1 = (1 + 2,7724 T_0)^{7/4} \approx 0,96925; \quad T_2 = \frac{\kappa_2}{\kappa_1} T_0 \approx -2,3630;$$

$$T_3 = T_1 - \frac{19\,946}{27} T_0 \approx 5,6824; \quad T_4 = T_0; \quad T_5 \approx (-2,7724 T_0)^{7/4} - 4 T_0 \approx 0,02637.$$

В итоге получаем:

- в области 1 $T \approx \sqrt[7]{0,96925 - 0,00638 (r - r_0)}$; $S \approx 36,35$;
- в области 2 $T \approx \sqrt[7]{5,6824 - 2,363 (r - r_0)}$; $S \approx 36,35$;
- в области 3 $T \approx \sqrt[7]{0,02637 - 0,00638 (r - r_0)}$; $S \approx 36,35$.

Еще более простые формулы для температуры можно получить, используя слева значение температуры $T = 1$, а справа $T = 0$. Хотя в предыдущем случае температура на границе не обращается в нуль, поведение профилей температур в обоих случаях очень близко.

Слева из условия $T = 1$ получаем $T_1 = 1$. Справа из условия $T = 0$ получаем $T_4 R + T_5 = 0$, или $T_5 = -T_0 R$. Из условий непрерывности температуры следует

$$T_3 = 1 - \left(\frac{\kappa_2}{\kappa_1} - 1\right) T_0 R_1, \quad T_0 = -\frac{1}{R + \left(\frac{\kappa_2}{\kappa_1} - 1\right) (R_2 - R_1)}.$$

При $r_0 = 0$; $R_1 = 2$; $R_2 = 2,4$; $R = 4$; $\kappa_1 = 27$; $\kappa_2 = 10\,000$ имеем

$$T_0 \approx -0,00659; \quad T_1 = 1; \quad T_2 = \frac{\kappa_2}{\kappa_1} T_0 \approx -2,44; \quad T_3 = 1 - 2 \frac{9973}{27} T_0 \approx 5,8683; \quad T_4 = T_0; \quad T_5 = -4 T_0.$$

В итоге получаем:

- в области 1 $T \approx \sqrt[7]{1 - 0,00659 (r - r_0)}$; $S \approx 37,54$;
- в области 2 $T \approx \sqrt[7]{5,8683 - 2,44 (r - r_0)}$; $S \approx 37,54$;
- в области 3 $T \approx \sqrt[7]{0,00659 (4 + r_0 - r)}$; $S \approx 37,54$.

В расчетах рассматривалась область $1 = r_0 \leq r \leq r_0 + R = 5$. Число точек по пространству выбрано из расчетов на получение сходимости численного решения.

На рис. 3 приведены профили температуры вещества, рассчитанной по TVD-схеме и аналитическим формулам. Видно, что эти профили хорошо согласуются между собой. Значения температуры, полученные из численных расчетов, в точках около границ областей примерно равны $T(1,001) \approx 0,999$; $T(3,000) \approx 0,993$; $T(3,401) \approx 0,526$; $T(4,999) \approx 0,208$.

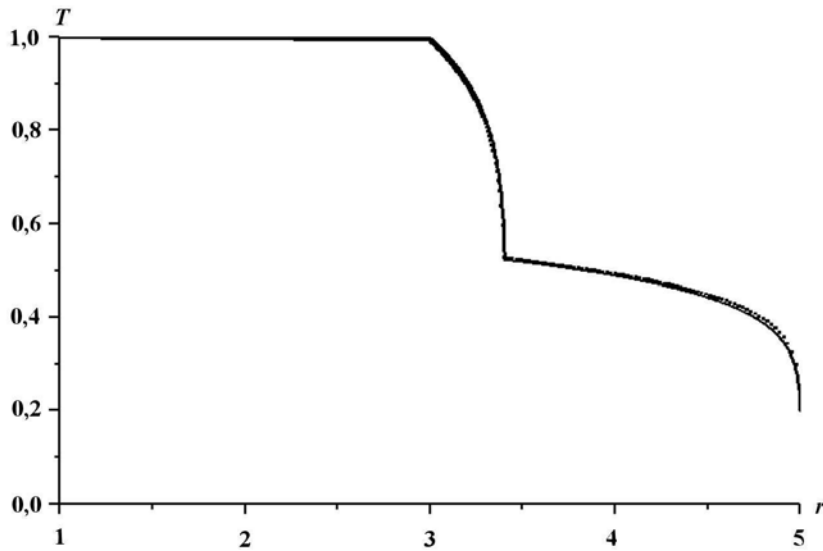


Рис. 3. Вторая задача Флека. Профили температуры вещества: — — численное решение; ■ — аналитическое решение

Список литературы

1. Fleck J. A., Cummings J. D. An implicit Monte Carlo scheme for calculating time and frequency dependent nonlinear radiation transport // J. Comp. Phys. 1971. Vol. 8. P. 313–342.
2. Larsen E. W., Thommes G., Klar A. et al. Simplified P_N approximations to the equations of radiative heat transfer and applications // Ibid. 2002. Vol. 183. P. 652–675.
3. Larsen E. W., Morel J. E., McGhee J. M. Asymptotic derivation of the multigroup P_1 and simplified P_N equations with anisotropic scattering // Nucl. Sci. and Eng. 1996. Vol. 123. P. 328–342.
4. Brantley P. S., Larsen E. W. The simplified P_3 approximation // Ibid. 2000. Vol. 134. P. 1–21.

Статья поступила в редакцию 20.06.12.
